

## PSV01, PSV01

Instrument: TE3-0060/01-14

Data format: 32 byte

Full scale [mV]: 51

Start recording: 24/08/17 09:39:35 End recording: 24/08/17 09:59:35

Channel labels: NORTH SOUTH; EAST WEST ; UP DOWN

GPS location: 013°04.6793 E, 43°22.5755 N (507.9 m)

(UTC time synchronized to the first recording sample): not available in this acquisition mode + 0 + 0 samples

Satellite no.: 5

Trace length: 0h20'00". Analyzed 90% trace (manual window selection)

Sampling rate: 128 Hz

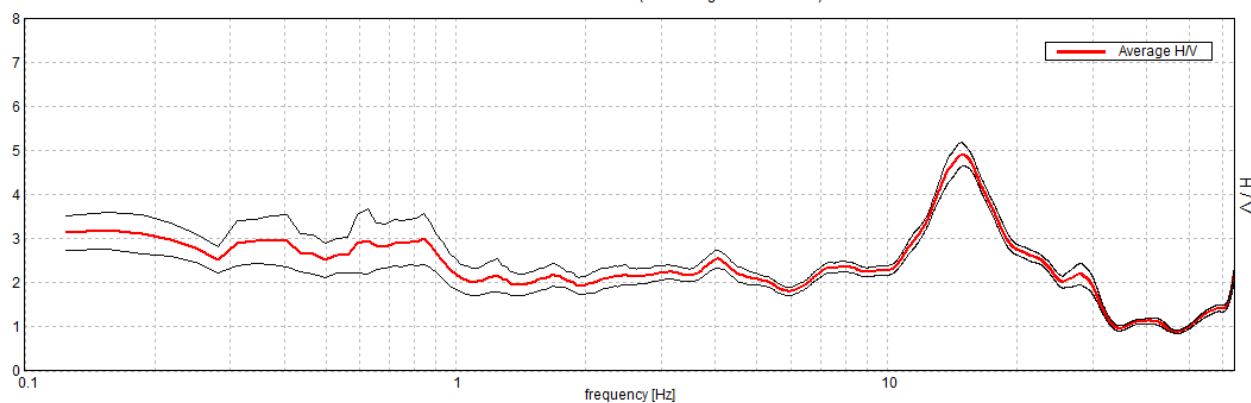
Window size: 20 s

Smoothing type: Triangular window

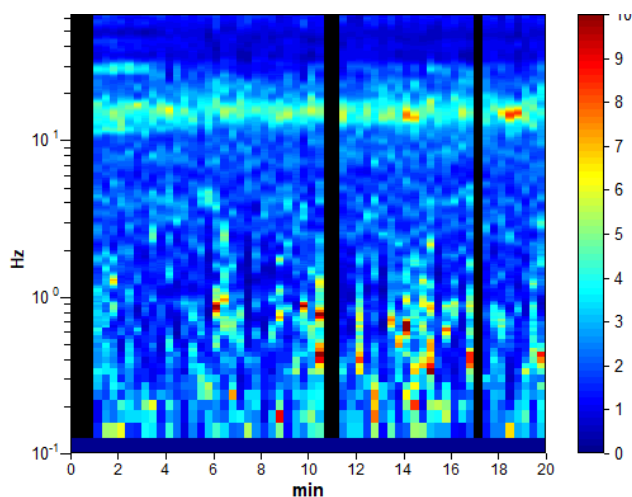
Smoothing: 10%

### RAPPORTO SPETTRALE ORIZZONTALE SU VERTICALE

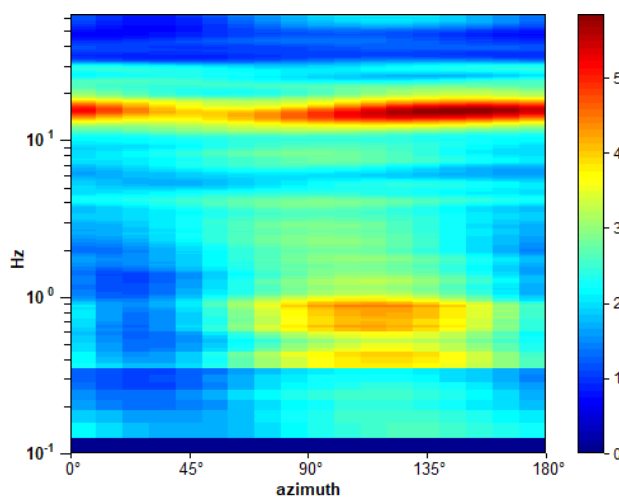
Max. H/V at  $14.94 \pm 0.43$  Hz. (In the range 0.0 - 64.0 Hz).



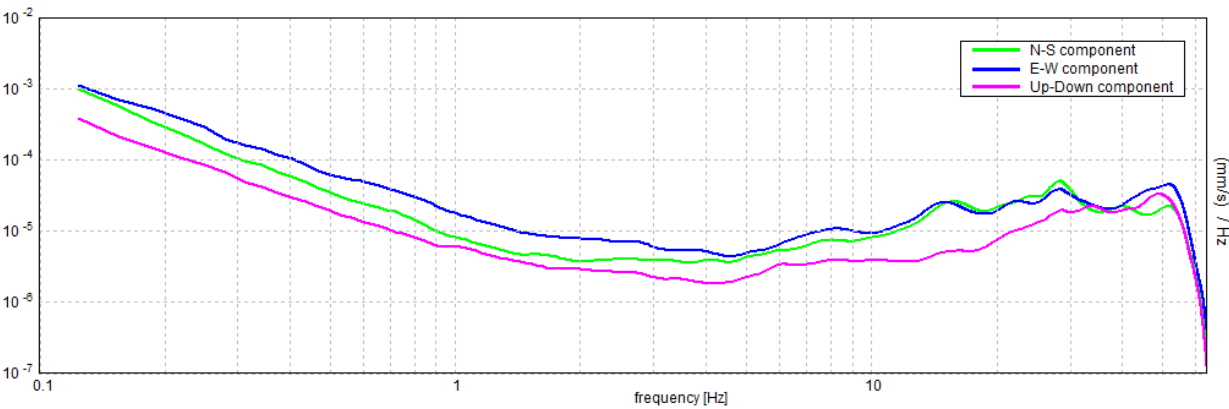
### SERIE TEMPORALE H/V



### DIREZIONALITA' H/V



SPETTRI DELLE SINGOLE COMPONENTI



[Secondo le linee guida SESAME, 2005. Si raccomanda di leggere attentamente il manuale di Grilla prima di interpretare la tabella seguente].

**Max. H/V at 14.94 ± 0.43 Hz (in the range 0.0 - 64.0 Hz).**

### Criteri per una curva H/V affidabile

[Tutti 3 dovrebbero risultare soddisfatti]

|  |                         |    |  |
|--|-------------------------|----|--|
| $f_0 > 10 / L_w$   | 14.94 > 0.50            | OK |  |
| $n_c(f_0) > 200$   | 16132.5 > 200           | OK |  |
| $\sigma_A(f) < 2$ per $0.5f_0 < f < 2f_0$ se $f_0 > 0.5\text{Hz}$<br>$\sigma_A(f) < 3$ per $0.5f_0 < f < 2f_0$ se $f_0 < 0.5\text{Hz}$ | Superato 0 volte su 718 | OK |  |

### Criteri per un picco H/V chiaro

[Almeno 5 su 6 dovrebbero essere soddisfatti]

|  |                     |    |  |
|--|---------------------|----|--|
| Esiste $f^-$ in $[f_0/4, f_0]$   $A_{H/V}(f^-) < A_0 / 2$    | 10.625 Hz           | OK |  |
| Esiste $f^+$ in $[f_0, 4f_0]$   $A_{H/V}(f^+) < A_0 / 2$     | 23.125 Hz           | OK |  |
| $A_0 > 2$  | 4.90 > 2            | OK |  |
| $f_{\text{picco}}[A_{H/V}(f) \pm \sigma_A(f)] = f_0 \pm 5\%$ | $ 0.02905  < 0.05$  | OK |  |
| $\sigma_f < \varepsilon(f_0)$                                | $0.43387 < 0.74688$ | OK |  |
| $\sigma_A(f_0) < \theta(f_0)$                                | $0.2656 < 1.58$     | OK |  |

|                        |   |
|------------------------|---|
| $L_w$                  | lunghezza della finestra  |
| $n_w$                  | numero di finestre usate nell'analisi   |
| $n_c = L_w n_w f_0$    | numero di cicli significativi   |
| $f$                    | frequenza attuale   |
| $f_0$                  | frequenza del picco H/V   |
| $\sigma_f$             | deviazione standard della frequenza del picco H/V   |
| $\varepsilon(f_0)$     | valore di soglia per la condizione di stabilità $\sigma_f < \varepsilon(f_0)$   |
| $A_0$                  | ampiezza della curva H/V alla frequenza $f_0$   |
| $A_{H/V}(f)$           | ampiezza della curva H/V alla frequenza $f$   |
| $f^-$                  | frequenza tra $f_0/4$ e $f_0$ alla quale $A_{H/V}(f^-) < A_0/2$   |
| $f^+$                  | frequenza tra $f_0$ e $4f_0$ alla quale $A_{H/V}(f^+) < A_0/2$  |
| $\sigma_A(f)$          | deviazione standard di $A_{H/V}(f)$ , $\sigma_A(f)$ è il fattore per il quale la curva $A_{H/V}(f)$ media deve essere moltiplicata o divisa |
| $\sigma_{\log H/V}(f)$ | deviazione standard della funzione $\log A_{H/V}(f)$  |
| $\theta(f_0)$          | valore di soglia per la condizione di stabilità $\sigma_A(f) < \theta(f_0)$   |

### Valori di soglia per $\sigma_f$ e $\sigma_A(f_0)$

| Intervallo di freq. [Hz]                        | < 0.2      | 0.2 – 0.5 | 0.5 – 1.0  | 1.0 – 2.0  | > 2.0      |
|---|------------|-----------|------------|------------|------------|
| $\varepsilon(f_0)$ [Hz]                         | $0.25 f_0$ | $0.2 f_0$ | $0.15 f_0$ | $0.10 f_0$ | $0.05 f_0$ |
| $\theta(f_0)$ per $\sigma_A(f_0)$               | 3.0        | 2.5       | 2.0        | 1.78       | 1.58       |
| $\log \theta(f_0)$ per $\sigma_{\log H/V}(f_0)$ | 0.48       | 0.40      | 0.30       | 0.25       | 0.20       |